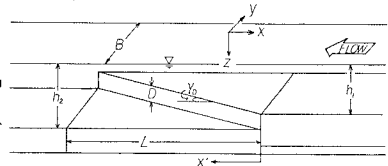


京都大学防災研究所 正員 藤田裕一郎 正員 村本嘉雄

1. はしがき：交互砂州の形成条件の物理的意義の解明を目的として、交互砂州の初期形状を模擬した流向に斜交する“斜め段落ち”上の流れの水理条件の相違に対する変化について実験を行い、検討を加えた。

2. 実験の装置と方法：循環式可変こう配水路（幅50cm、長さ20.5m）の中央部に図-1に示すような斜め段落ち部を設け、表の条件で実験を行い、段落をはさむ7~9断面における流速・流向を小型プロペラ流速計とその先端に結び付けた糸によって、また底面の流向分布を段落ち面上に貼った糸の写真撮影によって測定している。なお、河床こう配は $5.7 \times 10^{-4}$ である。



3. 実験結果とその検討：(流速分布特性) 図-2に示すように、等流速線

形狀は、段落区間で右岸近傍の流速が減少し、流速のピークが左岸側に偏り、さらに二分される(Run 2022)のような歪みを受けるが、その後ピークは中央部に復帰して等流速線の歪みも回復していく。等流速線は段落前縁付近で上向きに凸な形狀を示し、前縁に沿って剝離渦による上昇流が存在すると判断される。このような等流速線の歪みは、 $L=1m \sim 4m$  のすべての実験において観察され、図-2&3に示されているように、 $h_1=7cm$  の場合ではこの歪みは流水断面の比較的小部に限られているが、 $h_1=2cm$  の場合には断面全体にわたって擾乱される。後者について同一の $h_1$ とDの値を持つRun 4022, 2022および1022を比較すれば、等流速線の歪みおよび死水域はそれそれ、Run 4022では小さくかつ不発生、Run 2022では明瞭かつ発生、Run 1022では強く複雑かつ断面積の10数%を占める、となるようであって、斜め段落の影響は $L=1m$ の場合に顕著に現われるようである。一方、図-3のRun 227 & 222では、段落上面付近に水平な等流速線が密に走り、この $L=0.25m$ の場合には通常の段落流れに近い。Run 527 & 522では、ほぼ水平な等流速線がやや密に存在するが、Run 522では死水域も発生している、 $L=0.5m$ の場合には $L=1m$ と $L=0.25m$ の場合のほぼ中間の特性を示す。

(底面流向特性) 図-4のRun 2022では、前縁の上流側に左岸方向への顕著な流れが存在し、段下では剝離渦によつて、幅約12cmの前縁に平行な流れが形成されている。この

平行流は、 $L=1m \sim 4m$  の実験では常に観察され、その流速はしが長いほど大きいが、そのy方向成分は $L=1m$ の場合に極大となつた。一方、Run 222 & 522では、ともに段下の流向は乱れているが、前縁直下で前縁に平行な戻り流れが形成されている。このような流向は、Run 227でもみられ

図-1 模式図と記号の説明

Run No.	L (m)	D (cm)	$h_1$ (cm)	$h_2$ (cm)	$Q$ (l/s)
4027	4.0	2.2	6.82	9.45	16.5
4022			2.38	4.48	2.93
4017		1.0	7.22	9.50	20.8
4012			2.25	2.87	2.82
2027	2.0	2.2	7.22	9.50	16.7
2022			2.38	4.60	2.71
2017		1.0	7.25	8.58	21.7
2012			2.33	3.13	2.85
1027	1.0	2.2	7.23	9.50	16.4
1022			2.38	4.58	2.79
1017		1.0	7.61	8.85	21.7
1012			2.32	3.18	2.71
527	0.5	2.2	7.48	9.54	17.0
522			2.38	4.36	2.57
227	0.25	2.2	7.48	9.52	17.0
222			2.38	4.45	2.90

表 実験条件

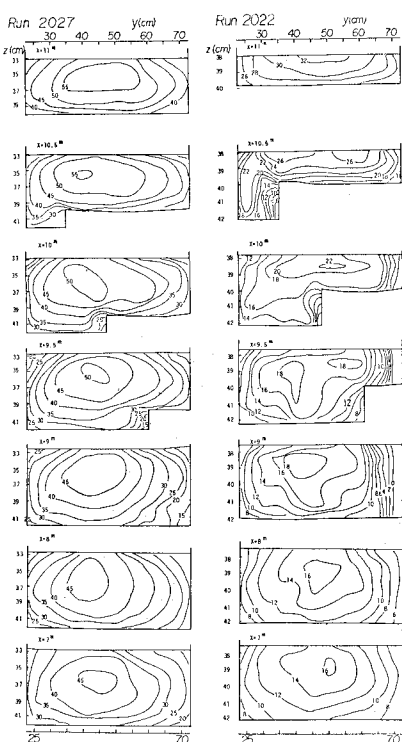


図-3 段落ち終端の流速分布

図-4 流速分布の流下方向変化 ( $L=2m$   $D=2cm$ )

たが、Run 527で認められず、 $L=0.25m$ の場合には安定して、また、 $L=0.5m$ の場合には特定の水理条件下で形成されるようある。

(単位幅流量 $q$ に関する検討)  $q$ は前線通過時に急増し、増加量はほとんど段上から供給されるので、段上では $q$ は減少を経て、右岸付近では前述のようにじきには死水域が形成される。 $q$ の変化特性を、 $q$ の最大値 $q_{\max}$ と $y=70cm$ の値 $q_{y=70}$ とを断面平均値 $q_{\bar{y}}$ で無次元化して検討した例を示せば図-5のようである。 $q_{\max}/q_{\bar{y}}$ は段落ち区間で増加した後減少、 $q_{y=70}/q_{\bar{y}}$ はその逆の挙動を示し、 $D/h_i$ の大きい方が両者の差や流下方向変化が大きく、それらはRun 1022で最大となる。一方、Run 227と222は $D/h_i$ の約3倍の変化にもかかわらず、 $q_{\max}/q_{\bar{y}}$ 、 $q_{y=70}/q_{\bar{y}}$ ともほぼ同じ値である。つぎに、 $q_{\max}$ の生じる位置 $y_M$ は $D/h_i$ が大きいほど水路中心線から離れる傾向にある。また、段落ち終端( $x/L=1$ )での $y_M$ と $q_{\bar{y}}$ との関係を示せば図-6のようであって、いずれの実験でも $L=1m$ の場合に最も左岸側に偏ることがわかる。

(渦度の変化特性) 斜め段落ちによって直線水路であっても渦心の偏位のために通過後の流速分布形状は弯曲部のものに類似し、このような3次元流れの流況は渦度の変化で表現されれる。渦度の $\psi$ 成分についてそれぞれ $\psi' = U_M/h_i$ 、 $\psi' = (U_{35} - U_{60})/25cm$ を用いて、流下方向変化を検討すれば図-7のようである。ここに、 $U_M, h_i$ は $y=40 \sim 55cm$ 区間の流速と水深の平均値、 $U_{35}, U_{60}$ は $y=35, 60cm$ の平均流速である。 $\psi'$ は段落開始部の縮流効果によつて $x=1/m$ でピーク値をとり、段落区間で減少した後一定となる、流積に対応した変化を示す。 $\psi'$ は段落ちとそのやや下流区間で増加後徐々に減少し、斜め段落ちによって水平渦が形成されていることがわかり、それはRun 1022で最大であった。なお、単純に $\psi$ に段落ちの形状特性 $B/h_i$ 、 $D/h_i$ が相乘的に作用して生じると考え、 $\psi'_{\max}$ と $\psi'_{x=L}$  ( $\psi'_{x=L}$ は $x=2m$ の $\psi'$ )との関係を検討した結果、 $\psi'_{\max}$ は $\psi'_{x=L} = 1$ にみつけて最大値となる変化を示し、ピークは $L=1m$ の実験値であった。

4.まとめ：以上のように、斜め段落ち流れの特性は $L=1m$ の水深の小さい場合に顕著に現われる。一

方、砂州上の流れは、主流の蛇行とそれに付随する低流速域の存在および主流と斜交する前線に沿う底面流の存在によって特徴付けられる。この主流の蛇行および底面流に、それぞれ斜め段落ち流れの渦心の偏位と流量の偏りおよび前線下部の剥離による平行流を対応させれば、これらの特徴の顕著に現われる $L=1 \sim 4m$ 、 $h_i=2cm$ の斜め段落ち流れと砂州上の流れとは巨視的な対応関係にあると考えられる。つぎに、斜め段落ちのようない河床の擾乱による流況の変化が上層流れによって河床近傍に限定されず、水理条件の平面的な不均衡が生じる場合に交互砂州が形成されると考えれば、 $h_i=7cm$  ( $B/h_i=7$ )の場合には砂州は形成されにくく、一方、 $h_i=2cm$  ( $B/h_i=25$ )、 $L=1m$ の場合に擾乱は流路全体に及び、移動床ではこの擾乱に応じた河床が形成される可能性が高い。

〈参考文献〉 村本・藤田：東大防災研年報、第21号B-2, 1978(印刷中)。

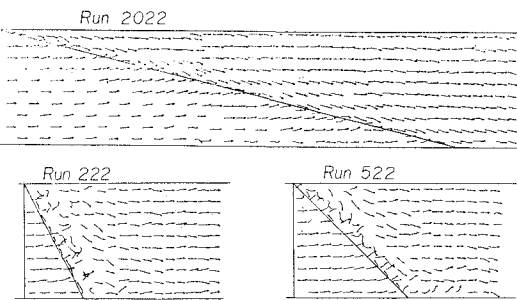


図-4 底面の流向分布特性

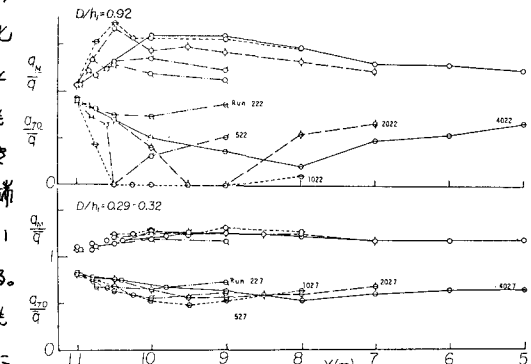


図-5 単位幅流量の最大値 $q_{\max}$ と最小値 $q_{y=70}$ の変化

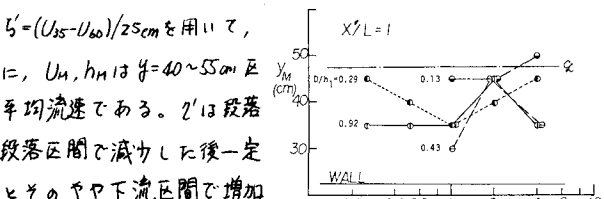


図-6 段落ち終端の渦心位置

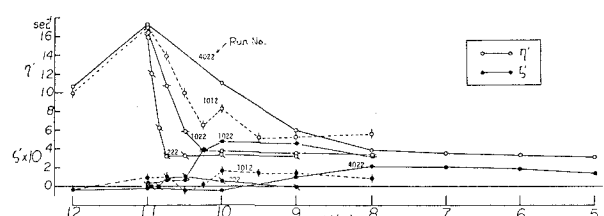


図-7 渦度成分の流下方向変化に関する検討